

Technical Report

João Vítor Fonseca de Mendonça

| RN02 – Jandaíra - RN | | | | | |
|--------------------------|---|------------|------------|-----------------------------|-----------|
| Location | Jandaíra – RN (EMPARN - Empresa de Pesquisa Agropecuária do RN) | | | | |
| Latitude | 5°17'46.45"S | -5,296237° | 9413925.52 | Altitude | 55 MSL |
| Longitude | 36°16'22.24"W | -36,272845 | 802290.10 | Magnetic Declination | -21° West |
| Installation Date | 10/05/2021 | | | Abbreviation | RN02 |

| Identification of Instruments | | | | | |
|---|------------------------------|--------------|------------------|----------|---|
| Instruments | Measured Variable | Abbreviation | Unit | Serial | Obs |
| Datalogger CR300-CELL215 - Campbell Scientific | Data acquisition | - | - | 26022 | Modem built into the datalogger |
| Piranômetro CPM 6 – Kipp & Zonen | Horizontal Global Irradiance | GHI | W/m ² | 2144236 | Sensitivity 19,11 $\mu\text{V}/\text{W}/\text{m}^2$ Calibrated on 19/01/2021 |
| Termohigrômetro Hygro VUE10 – Campbell Scientific | Air temperature | Temp | °C | E2162 | Calibrated on 25/01/2021 |
| | Relative humidity of the air | UR | % | | |
| Anemômetro Wind SPD Sensor – Met One Instruments | Wind Speed | Vel | m/s | A20638 | Calibrated on 25/09/2020 - MR |
| Painel Foto-voltaico 20M-V – Electrical Rating | Power Generation | - | V | 002020M | Power 20W |
| Antena Unidirecional TRA6927M3PW-001 – Laird | Amplify 4G Signal | - | - | 07202010 | - |

| 0 | 1 | 2 | 3 | 4 | 5 |
|----------------------|----------------|-------------|---------|----------|-------|
| TEMP | Não disponível | Não testado | Anômalo | Suspeito | Bom |
| Desvio padrão | 0 | 0 | 0 | 0 | 43200 |
| Posicionamento | 0 | 0 | 0 | 0 | 43200 |
| Fisicamente possível | 0 | 0 | 0 | 0 | 43200 |
| Extremamente raro | 0 | 0 | 0 | 79 | 43121 |
| Evolução temporal | 0 | 0 | 0 | 79 | 43121 |

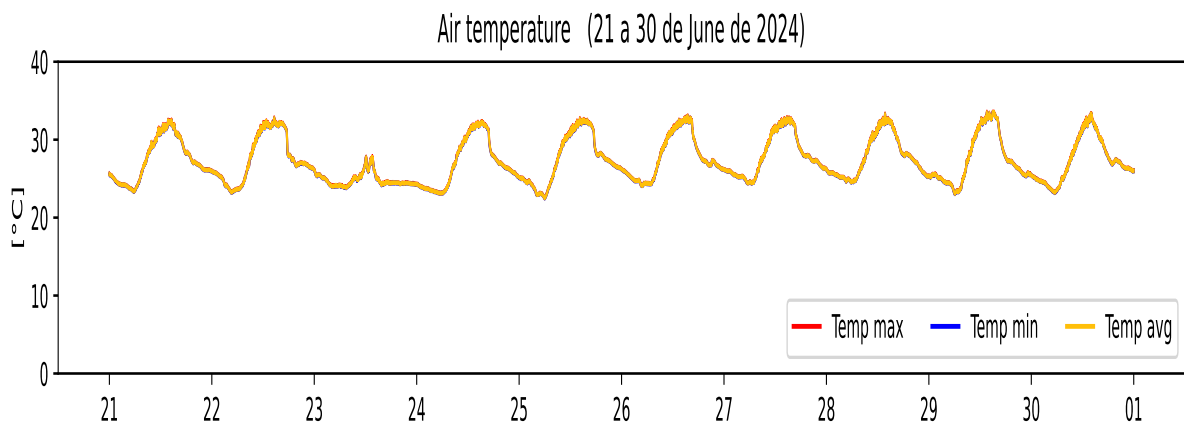
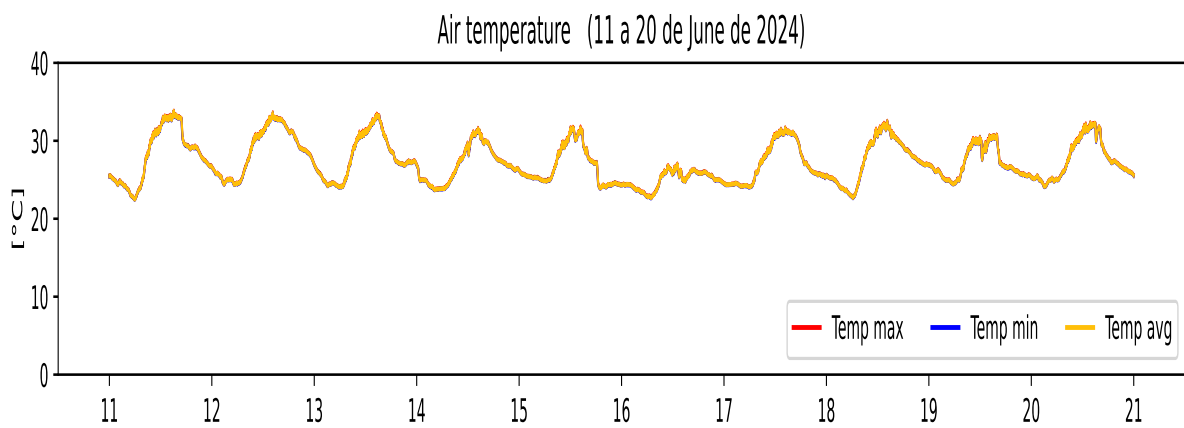
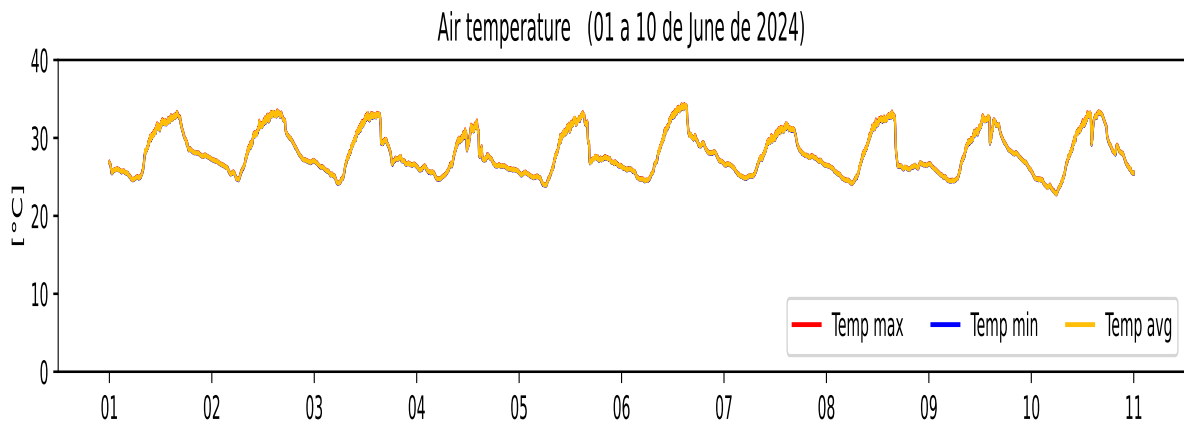


Figure 1: Gráfico gerado para o relatório

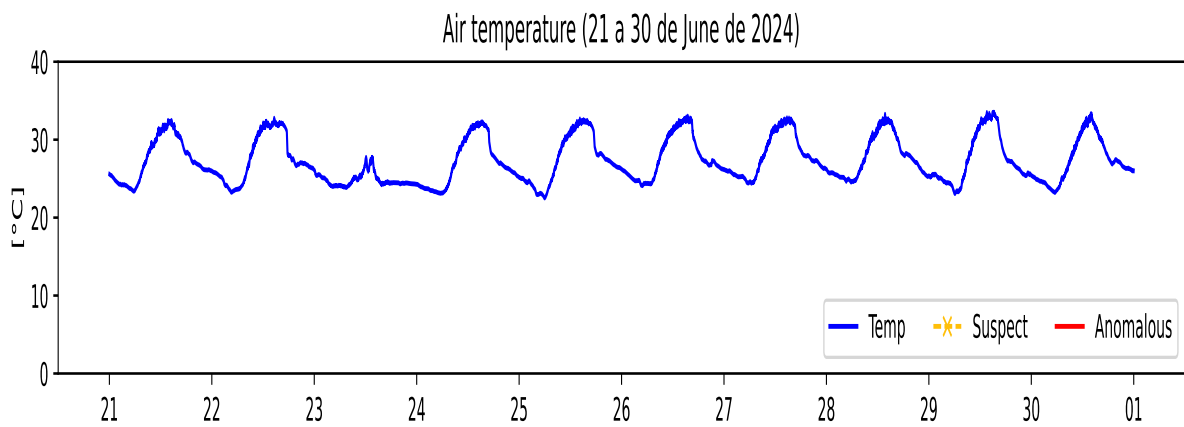
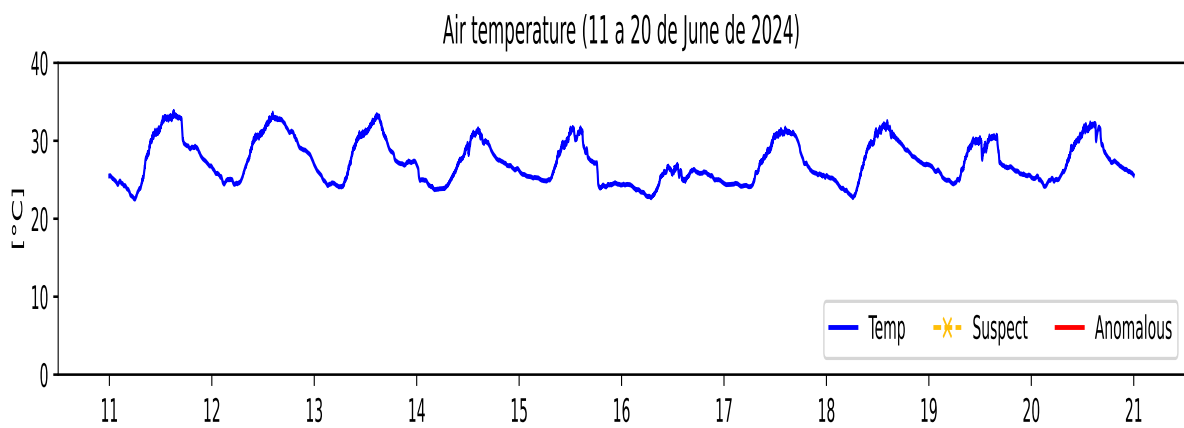
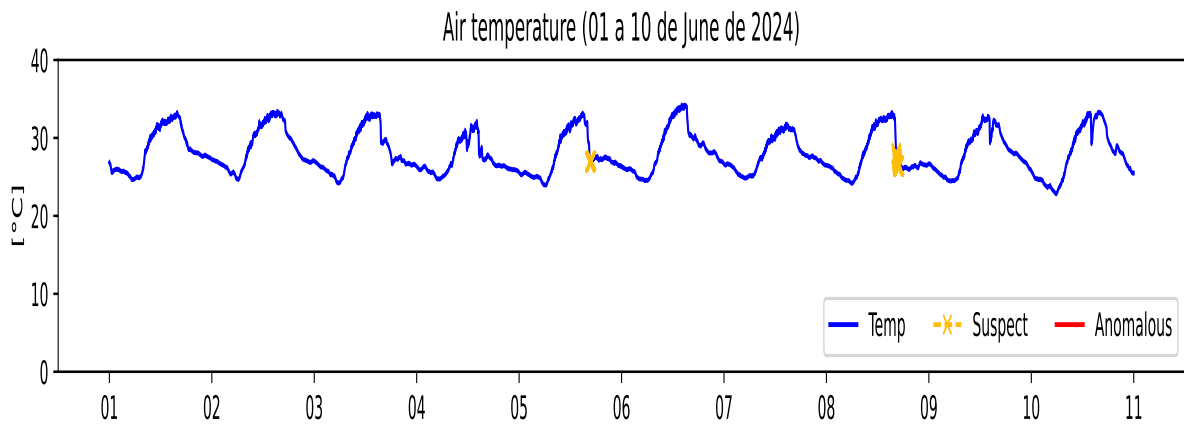


Figure 2: Gráfico gerado para o relatório

| 0 | 1 | 2 | 3 | 4 | 5 |
|----------------------|----------------|-------------|---------|----------|-------|
| UR | Não disponível | Não testado | Anômalo | Suspeito | Bom |
| Desvio padrão | 0 | 0 | 0 | 0 | 43200 |
| Posicionamento | 0 | 0 | 0 | 0 | 43200 |
| Fisicamente possível | 0 | 0 | 0 | 0 | 43200 |

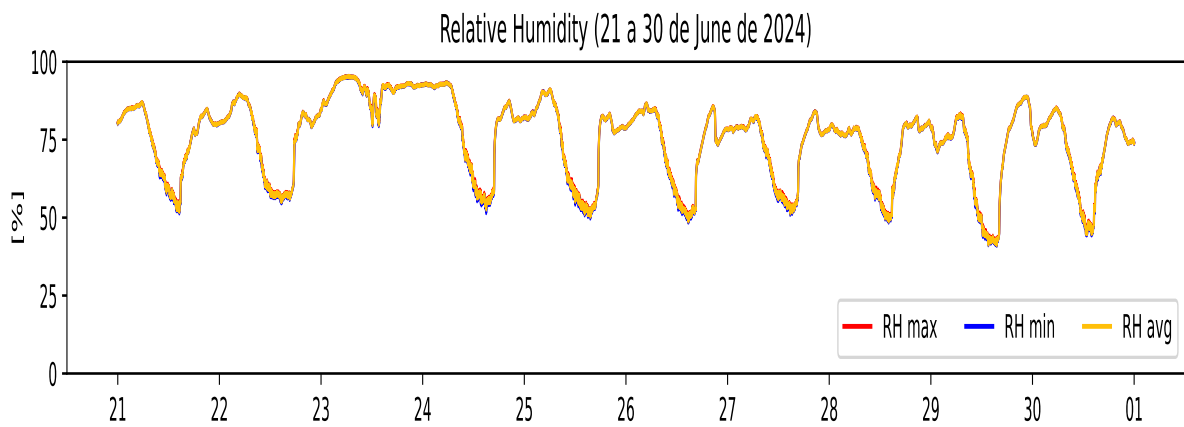
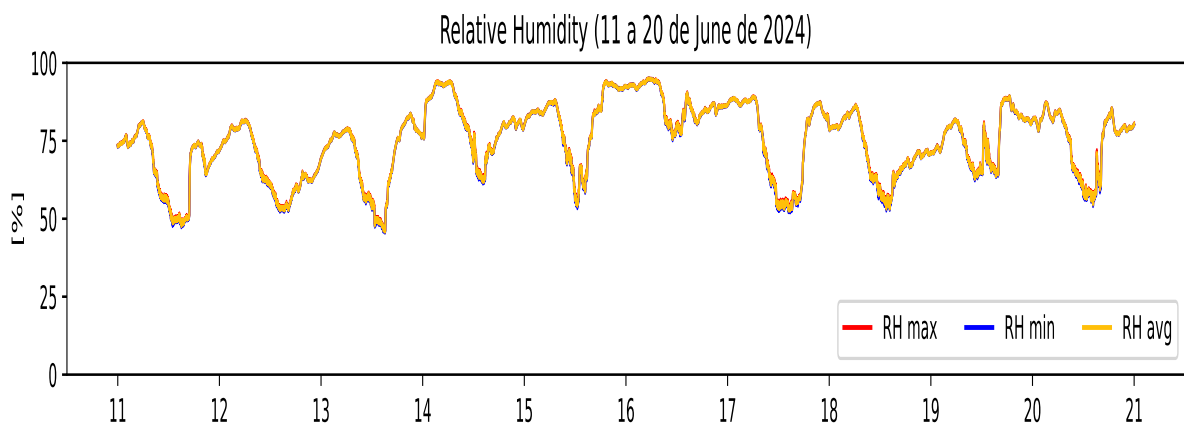
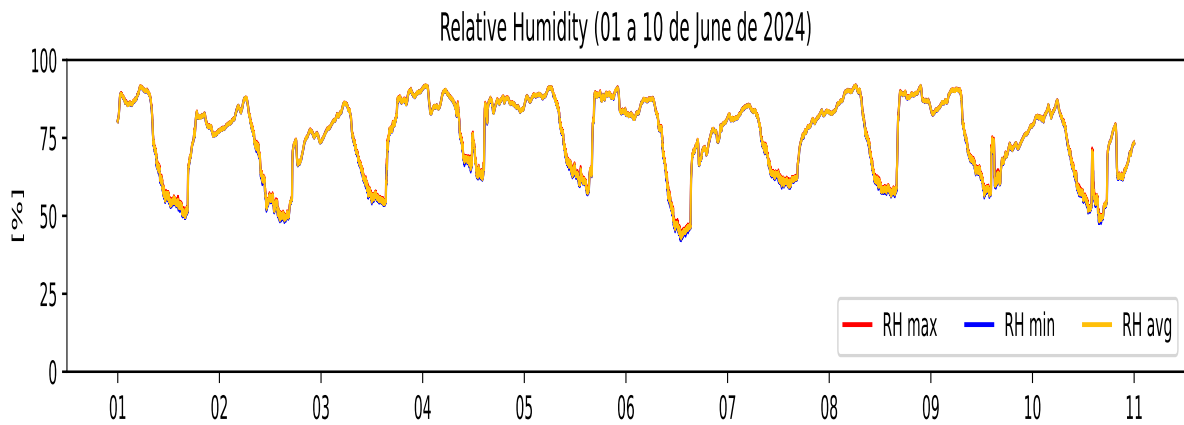


Figure 3: Gráfico gerado para o relatório

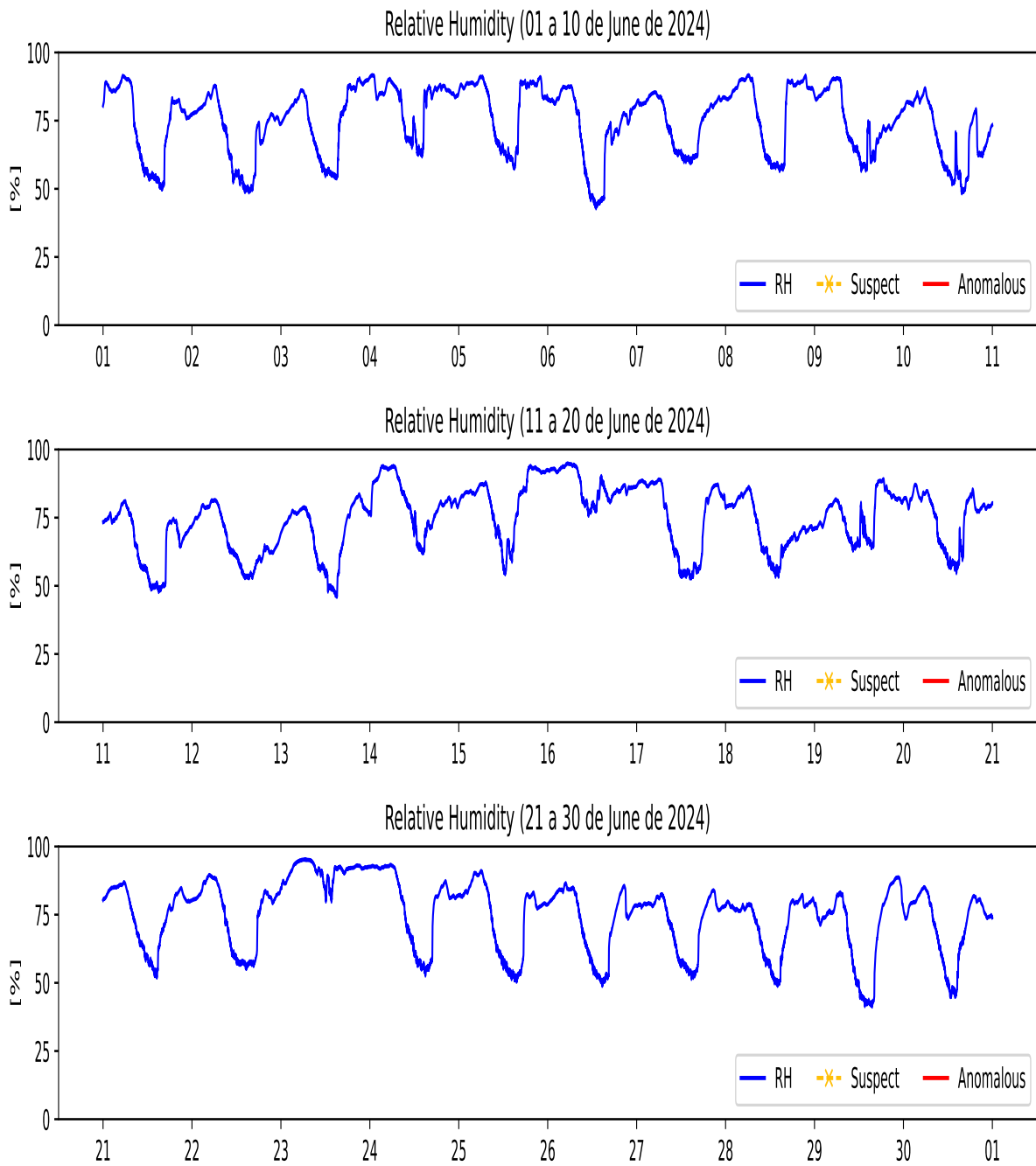


Figure 4: Gráfico gerado para o relatório

| 0 | 1 | 2 | 3 | 4 | 5 |
|----------------------|----------------|-------------|---------|----------|-------|
| VEL | Não disponível | Não testado | Anômalo | Suspeito | Bom |
| Desvio padrão | 0 | 0 | 0 | 0 | 43200 |
| Posicionamento | 0 | 0 | 0 | 0 | 43200 |
| Fisicamente possível | 0 | 0 | 0 | 0 | 43200 |
| Extremamente raro | 0 | 0 | 0 | 1308 | 41892 |
| Evolução temporal | 0 | 0 | 0 | 1308 | 41892 |

Wind speed

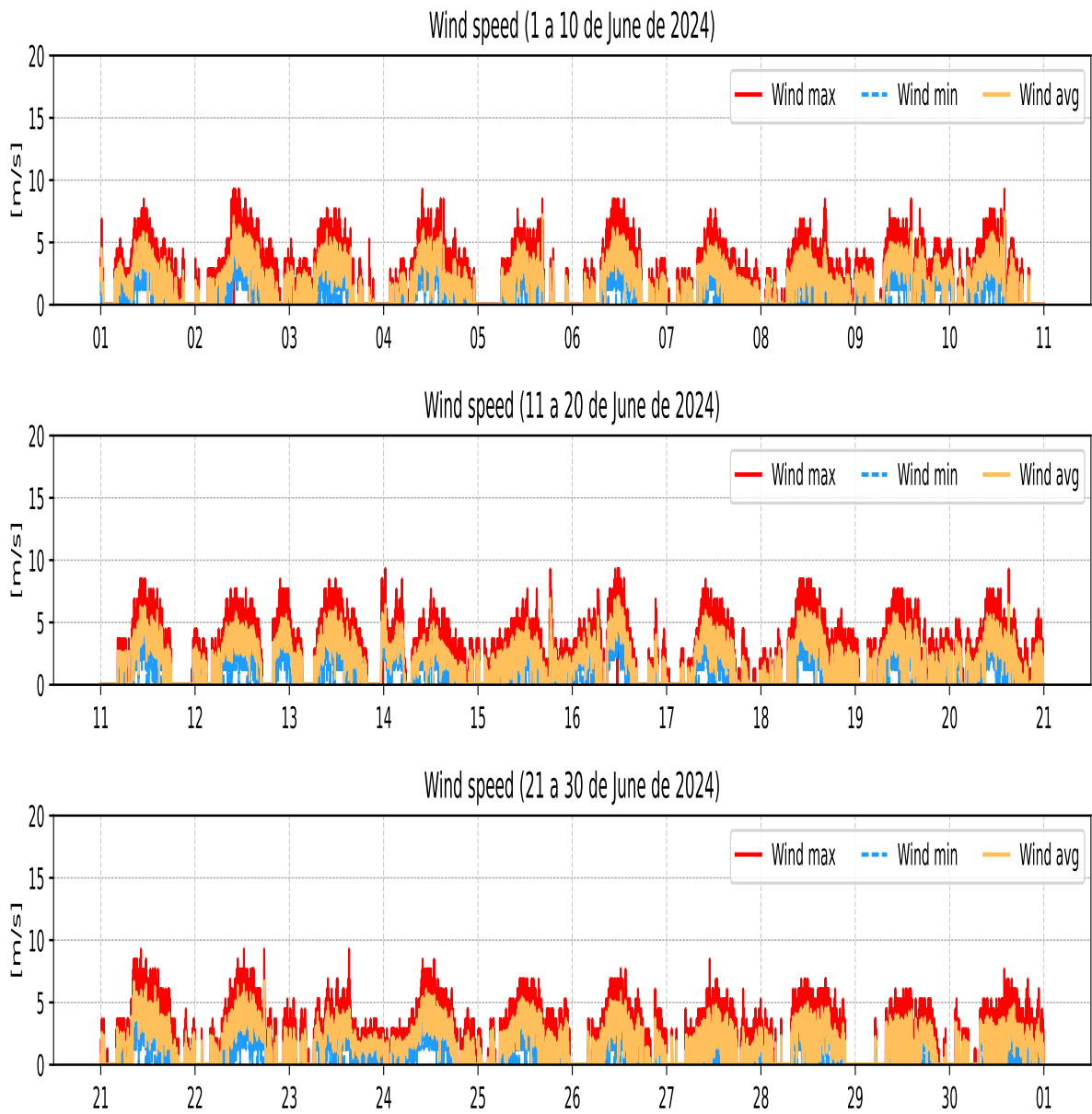


Figure 5: Gráfico gerado para o relatório

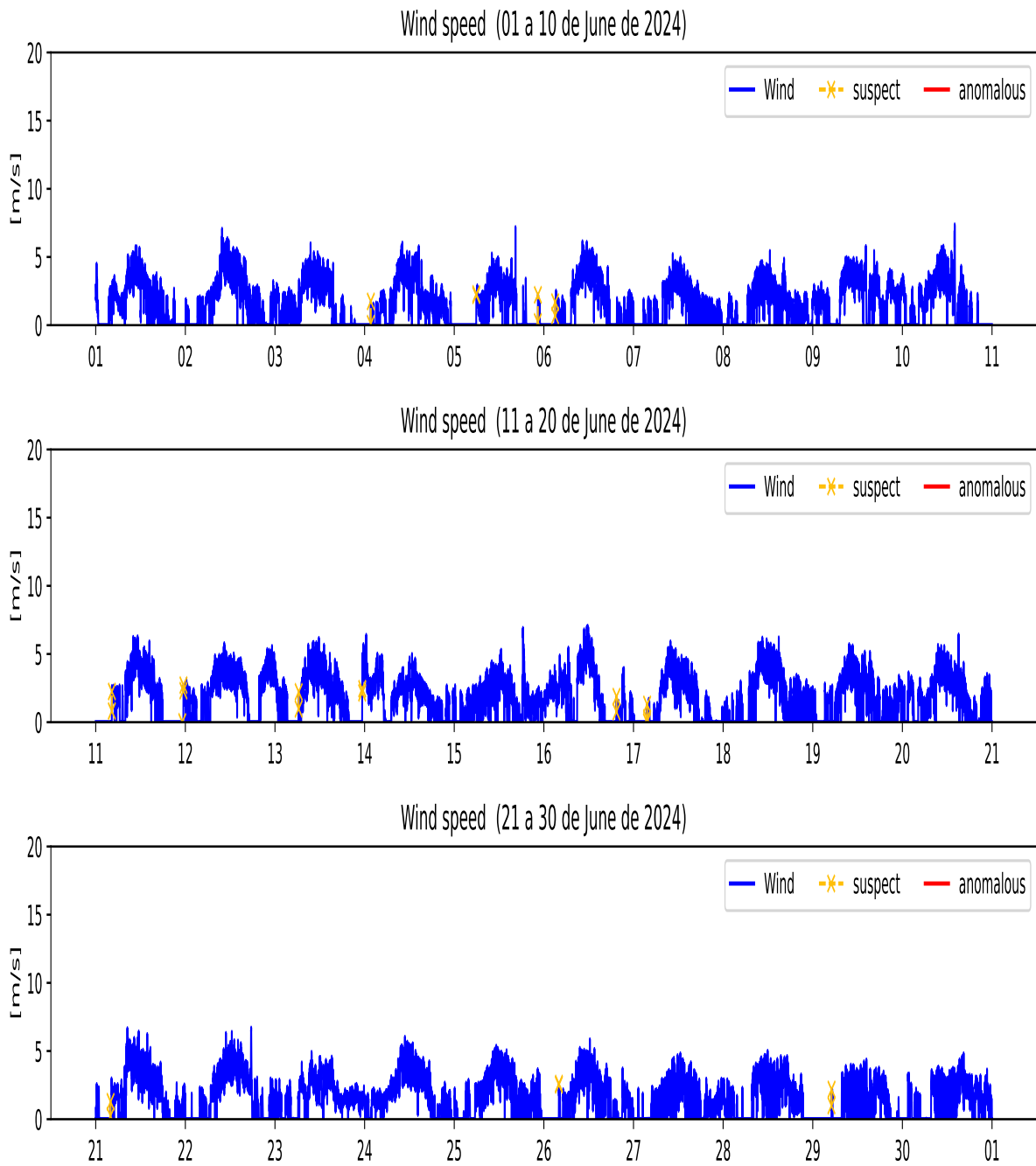


Figure 6: Gráfico gerado para o relatório

| 0 | 1 | 2 | 3 | 4 | 5 |
|----------------------------|----------------|-------------|-----|---------|----------|
| GHI1 | Não disponível | Não testado | nan | Anômalo | Suspeito |
| Limite físico | 7 | 0 | 0 | 0 | 0 |
| Elevação | 7 | 23977 | 0 | 0 | 0 |
| Desvio padrão | 7 | 23977 | 0 | 0 | 0 |
| Posicionamento | 7 | 23977 | 0 | 0 | 0 |
| Índice de transmissividade | 7 | 23977 | 0 | 0 | 0 |
| Fisicamente possível | 7 | 23977 | 0 | 0 | 0 |
| Extremamente raro | 7 | 23977 | 0 | 0 | 0 |
| Modelo de Céu claro | 7 | 23977 | 0 | 0 | 183 |
| Consistência temporal | 7 | 23977 | 0 | 2 | 183 |
| Persistência | 7 | 23977 | 2 | 0 | 183 |

Global Horizontal Irradiance

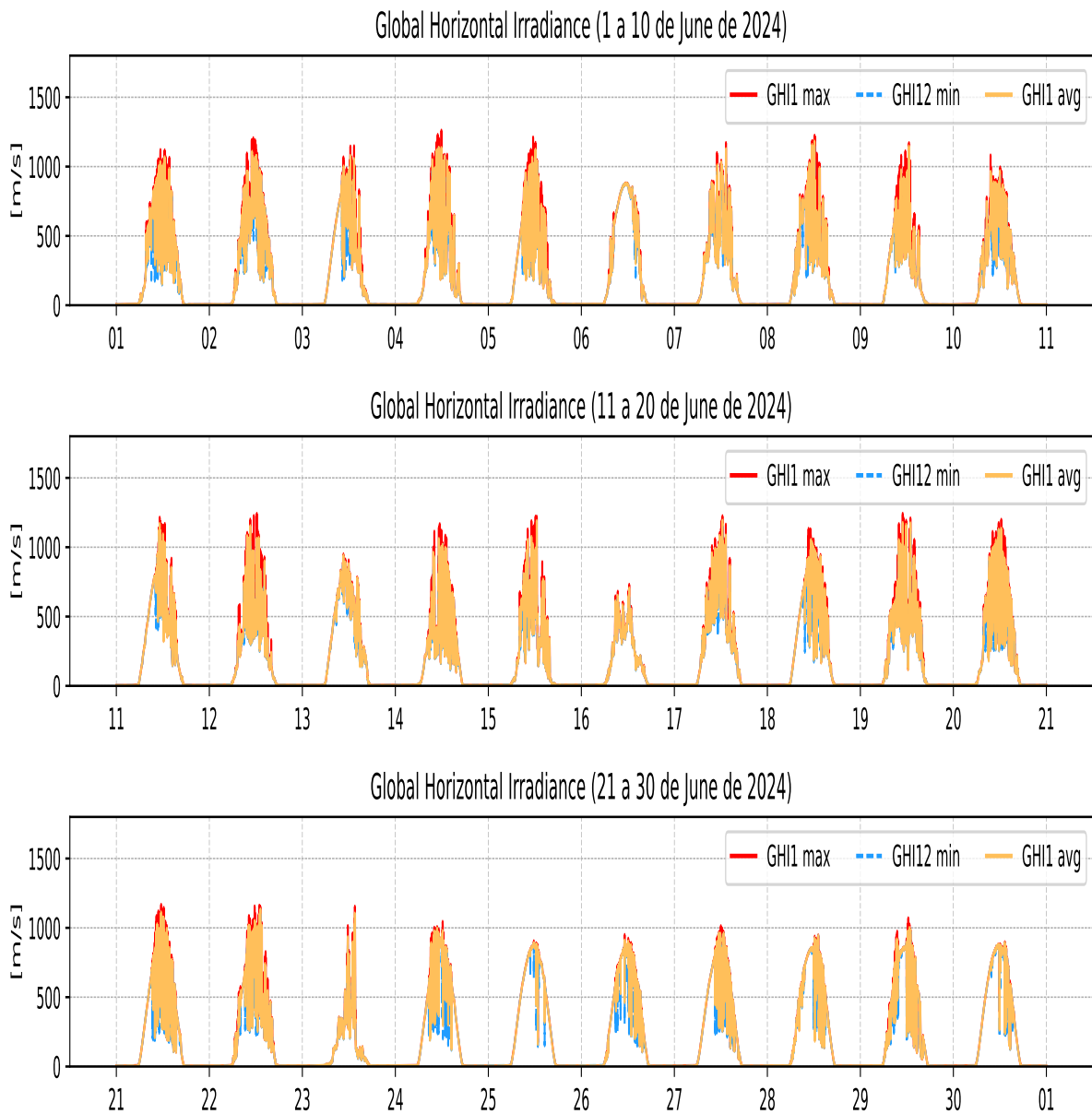


Figure 7: Gráfico gerado para o relatório

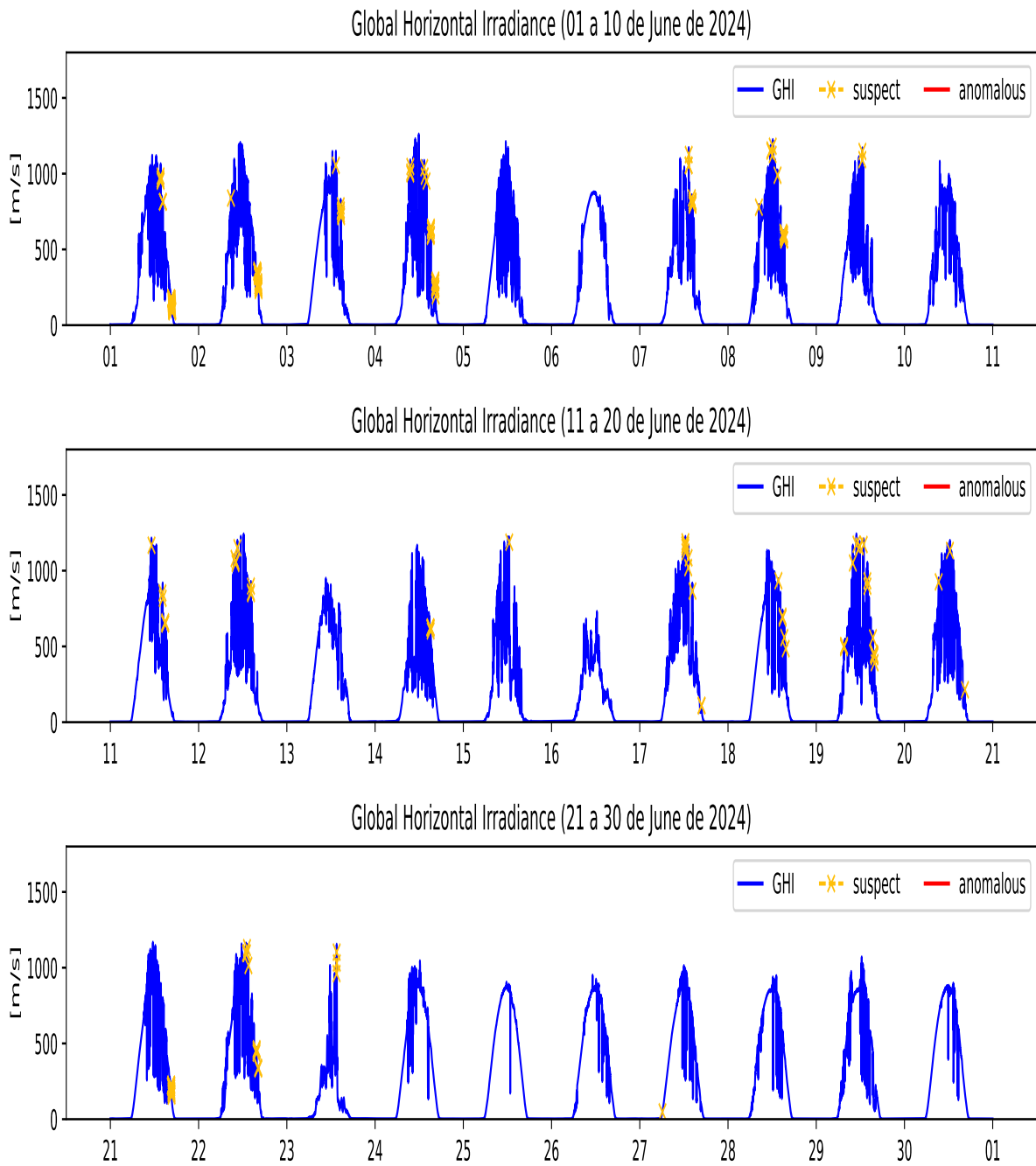


Figure 8: Gráfico gerado para o relatório

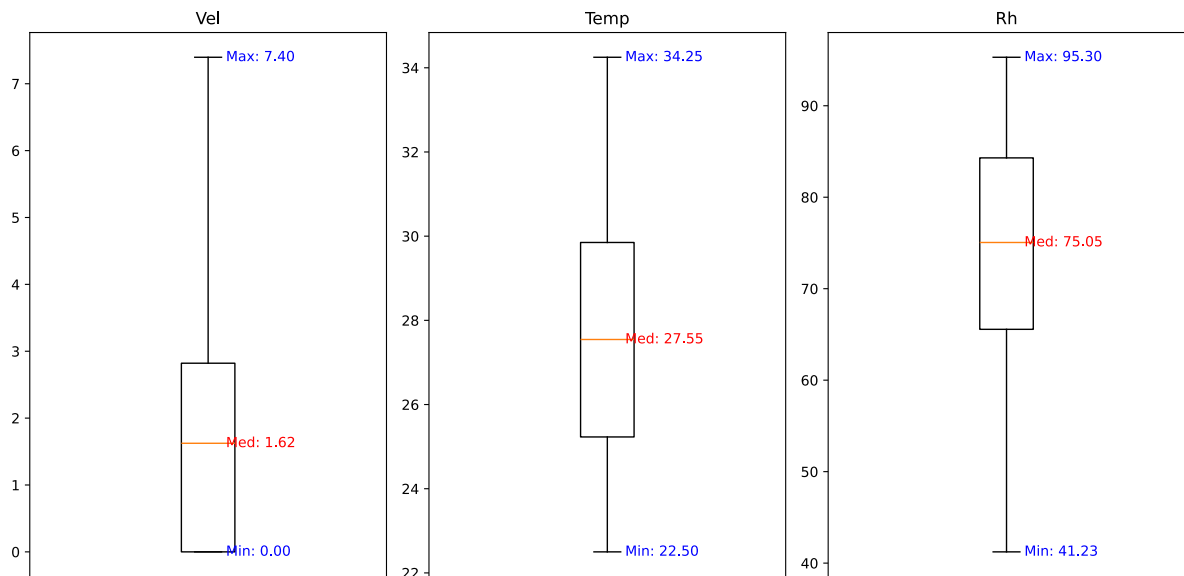


Figure 9: Legenda da figura grande

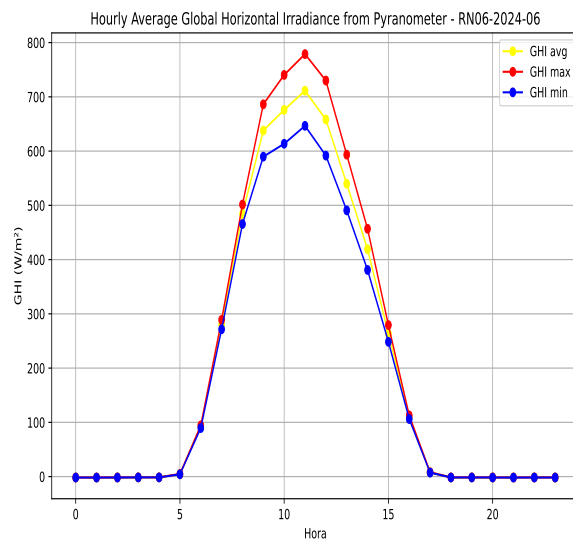


Figure 10: Legenda da parte21

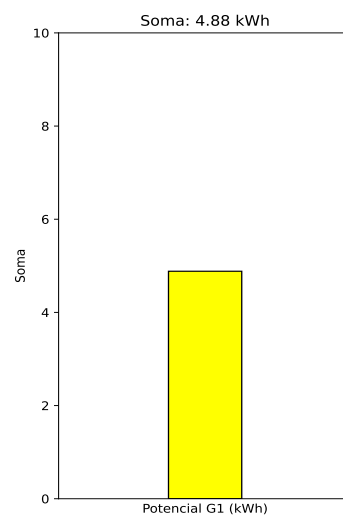


Figure 11: Legenda da parte23

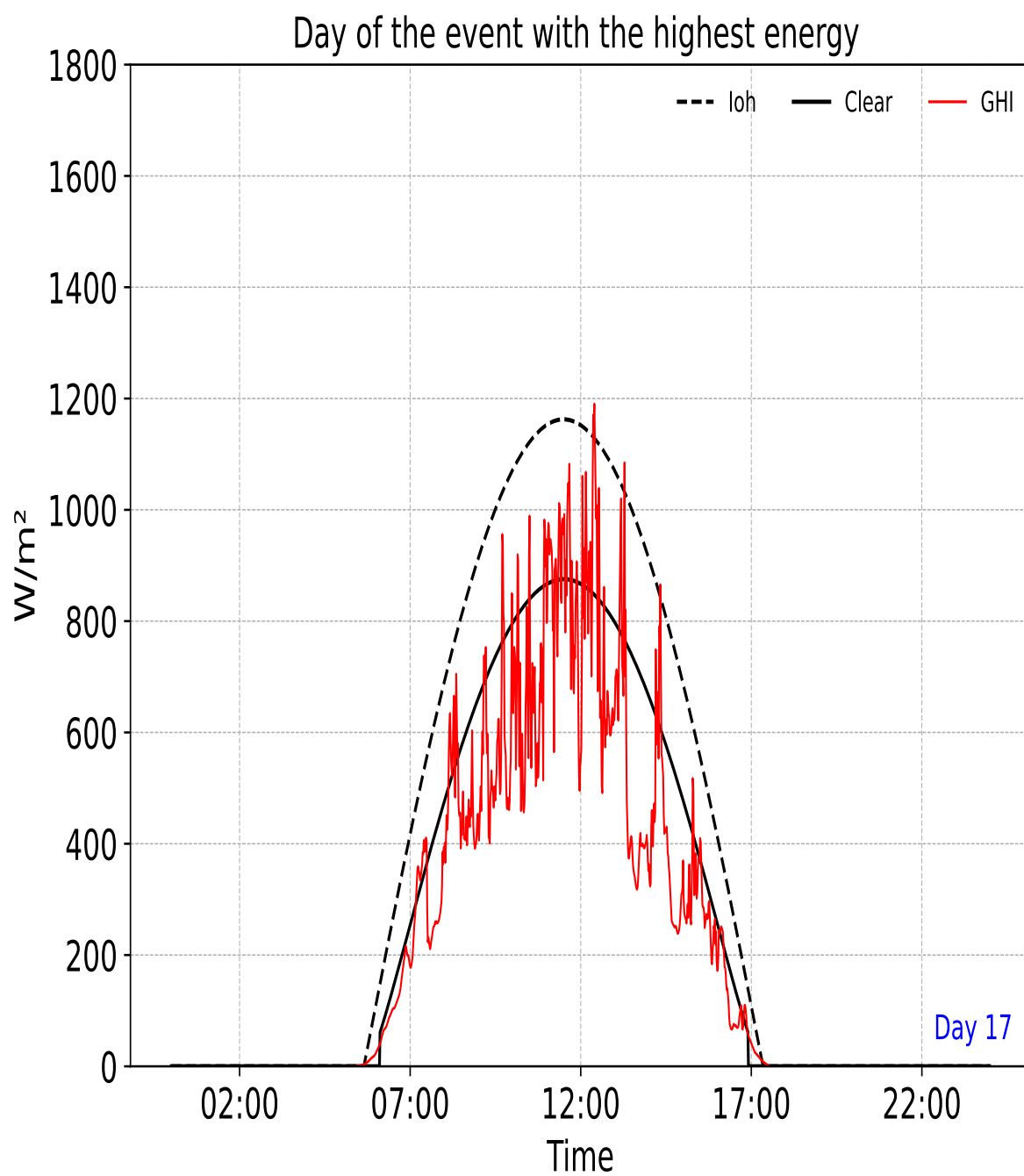


Figure 12: Gráfico gerado para o relatório

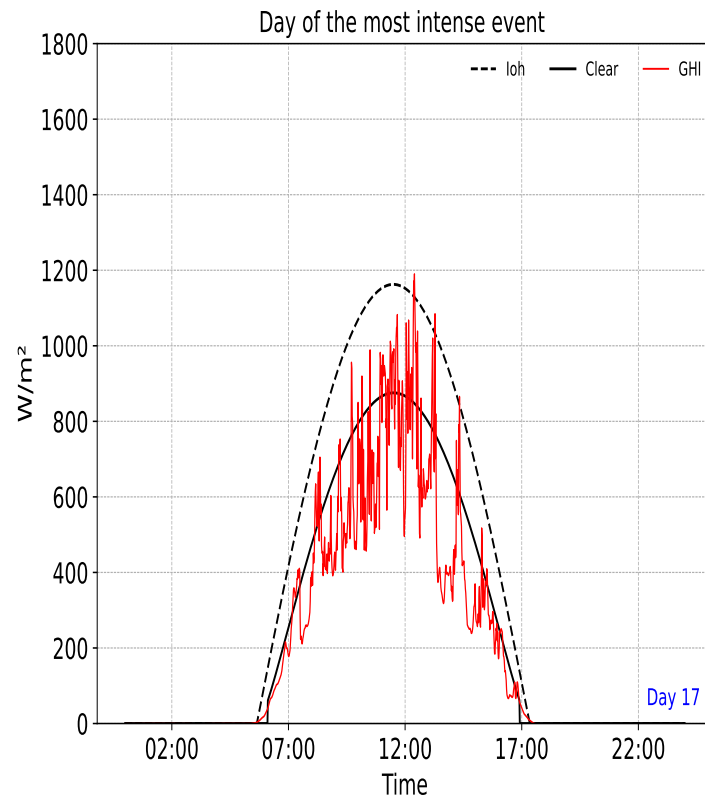


Figure 13: Gráfico gerado para o relatório

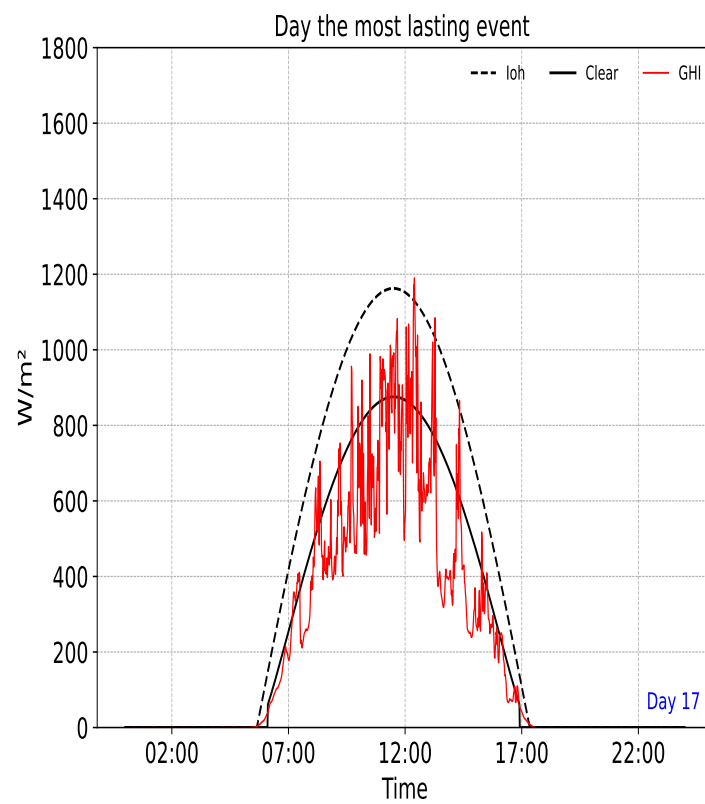


Figure 14: Gráfico gerado para o relatório